

数 字 微 量 天 平

吴直江 吴立丹 张懋弧

(中国科学院上海细胞生物学研究所)

提 要

本文介绍一种以电磁力平衡原理为基础的数字微量天平，它采用动圈式仪表的支承及其电流偏转线圈，以取代普通机械天平的平衡刀口，并以电码码来达到电磁力平衡，最后以四位数字来显示出称量数，显示的最小称量可以达 1 微克。

天平是一种可广泛使用的称量仪器，多数的机械天平能达到较高的精度及较宽的称量范围。数字化以后的天平就更直观，更具有普及意义。D-81 型数字微量天平，它是基于电磁力平衡的原理而发展起来的。它与 TG 332 A 级机械微量天平相比，具有许多优点。其重复性与准确性均不低于普通的机械天平，然而灵敏度比 A 级天平可高一个数量级，能显示 1 微克的称量，零点调节与称量调节均快，操作方便，环境温度影响小，适合实验室微量分析之用。

一、工作原理

数字微量天平是将物体的机械重力转换为电量的数字显示，电磁力平衡是一种很好的转换方法。用动圈仪表即可实现机械力与电磁力的平衡转换。

动圈仪表^[1]，就是在一个永久磁铁形成的磁场中放置一个可以转动的线圈，流过线圈的电流和磁场相互作用，在动圈的两垂直边上产生了电磁力 F ，这是一对大小相等方向相反的力，并使转动轴产生了转矩，使动圈产生了偏转。实际的动圈仪表，设计永久磁铁的极靴做成同心径向形状，动圈的转动力矩为：

$$M = 2 r n l B I = c_1 I$$

式中 $c_1 = 2 r n l B$ 是一个常数，仅与动圈和磁铁有关，所以由上式可见，动圈的偏转力矩与流过

动圈的电流成正比。而动圈中仅存在着一个张丝或游丝所产生的反作用力矩，平衡电流产生的偏转力矩，当反作用力矩与偏转力矩相平衡时，动圈就稳定地偏转在某一角度，固定在动圈上的仪表指针也就稳定地指示在某一刻度的位置。

在数字微量天平的设计中，力平衡支承部分与通常的仪表工作程序相反。当在动圈上外加重力 F_1 产生力矩 M_1 与加进的反向电流所产生的反向偏转力 F_2 的力矩 M_2 相等时，线圈就回复到原来的位置。张丝或游丝的反向偏转力矩越小，则动圈的偏转角就越大，偏转系统就越灵敏。由于 M 与 I 为线性关系，所以外加重力 F 与 I 同样为线性关系。当有一个外加重力 F_i 存在，在平衡的条件下就有一个 I_i 的值与之相对应。电流 I_i 值就代表着相应的重量值。

二、仪器的结构与电路原理

仪器由天平动圈支承部分与机电转换电路两部分所组成。仪表动圈支承作为天平的基本支点，动圈两边延伸出的二臂，其一为称物力矩臂，是连接称物盘的一端，另一臂为平衡指示臂，如图 1 所示。在这个平衡系统中，称物力矩要承受一定的称物重量，故采用硬度较好的磷青铜丝，平衡指示臂为 $\phi < 1\text{mm}$ 的毛细直玻璃管，管头形成针尖形状，以作平衡零点指示。

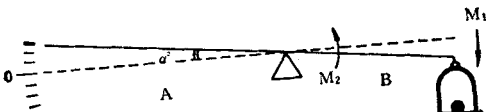


图 1 电磁力平衡原理
A 为指针臂, B 为称物臂, M_1 为称物力矩, M_2 为平衡力矩。

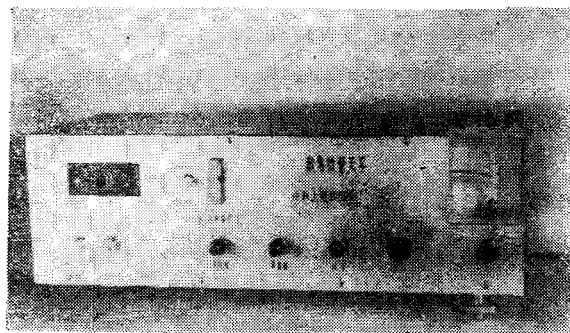
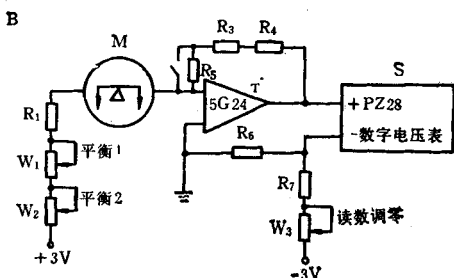
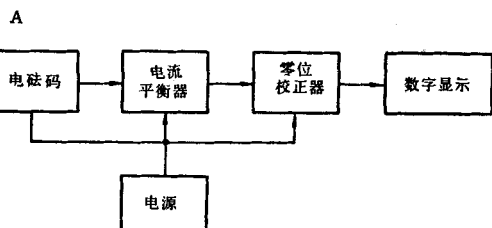


图 2 A 为电原理框图。B 为转换显示环节电路, 其中 M 为动圈电流平衡器, T 为电流电压转换器, S 为数字显示器。C 为数字微量天平外形结构

动圈的张丝是镀青铜, 成矩形, 承受力较大。采用规格为 $M1.6$ 的镀青铜片, 这是力矩较小的一种, 故灵敏度较高, 然而承受力仍然较大。

通常二臂越长, 其称量指示的精度及灵敏度也就越高, 但长度是有限的, 因为受到仪器整体及平衡支承的限制。

在实际的平衡系统里, 当指示臂 $A = 20$ 厘米, 称物臂 $B = 5$ 厘米时, 于称物臂的一端加上 0.03 毫克的重量, 指针偏转 $\alpha = 0.288^\circ$, 指示

端偏转 1 毫米以上, 所以该系统即使在 0.009—0.001 毫克范围内, 仍能分辨出。

系统电路由晶体管电路、运算放大器、张丝式电流平衡器以及面板式数字电压表等组成。

由图 2 可知, 当所称物放入天平盘内时, 物体的重量使天平盘的一端下沉, 此时, 在电流平衡器内注入可以连续调节的反向平衡电流, 它可以使天平的平衡臂产生一个反向力矩, 从而使称盘重新抬起, 回到起始位置, 指示端又指到零点, 这里称这样的功能为加入“电砝码”, 这好比机械天平称量时, 为了要平衡加人物体后引起一方称盘下沉, 故需在另一称盘内加入与物体相当重量的砝码, 使天平指示回到零一样。金属砝码代表称物重量。这里加入的反向平衡电流数值或电砝码即代表物体的重量, 经电路转换就可以显示出物体实际的重量。这是因为电流与物体的重量成线性关系, 故反向电流的数值通过运算放大器转换成电压, 然后可以由数字电压表直接显示出毫克或微克数值^[2]。

三、仪器的主要技术指标与性能

1. 称量范围: 0—1 毫克(四位数字显示)。
0—20 毫克 (实际最大显示毫克数为 19.99 毫克)。

2. 最小显示数: 0.001 毫克

3. 测量误差: 千分之三以下(在正确、无冲击操作时)。

四、讨 论

数字微量天平比普通机械天平有其优越性, 数字化能使操作人员感到直观方便, D-81型数字微量天平还是半自动化的, 尚需进行人工的几种调节, 对于批量较大的样品测试, 所花的时间就要长些, 在称量范围上还不能达到克数量级, 这是由于仪表轴承的承受力有限所致。在仪器中如能增加光电自动调节系统, 以及增加 CPU 电路, 就能达到全自动化, 自动去皮, 自动记录。多数用户希望称量范围应向上扩展, 使用价值会更大。实际上, 向高端扩展要比向

(下转第62页)

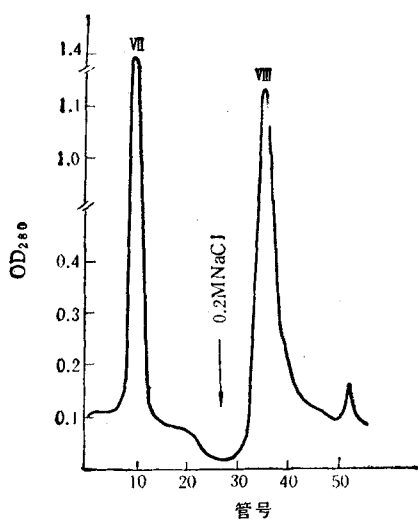


图 6 相思豆毒素 A、B 链分离

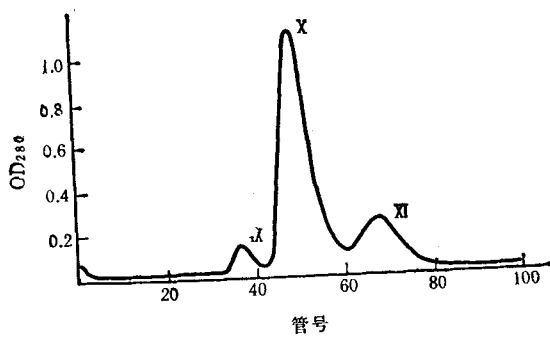


图 7 Sephadex-G75 纯化相思豆毒素

了在原毒素中所具有的活性。

讨 论

本文介绍的相思豆毒素提取纯化及 A、B 链分离纯化，方法比较简单，一般实验室都可进

行。提取毒素关键是把凝集素除去。与一般文献不同，我们采用 Sephadex-G75 凝胶过滤，使凝集素、毒素分离，从而得到较纯的毒素。为此做了如下实验：把毒素粗样品直接进行 Sepharose-4 B 亲和层析，然后进行 Sephadex-G75 凝胶过滤分离，得到的蛋白洗脱曲线见图 7，是三峰型蛋白组分，分别称之为峰 IX、X、XI。经鉴定和比较^[3,4]可以确定，峰 XI 是毒素，无红细胞血凝作用，约 0.25 μg 就可致死小鼠；峰 X 是凝集素，具很强凝集作用，含量为 1 μg 不致死小鼠。上述“方法”中凝胶过滤提纯毒素所收集的体积范围，就是由此结果推算得到的。

以往文献都是用 SDS 电泳鉴定毒素纯度，我们采用聚丙烯酰胺凝胶电泳方法。实验结果证明：后者比前者容易将毒素和凝集素分离开来（见图 5）。

采用 A 链的间接活性测定法简便可靠，在无同位素参入示踪无细胞系统（Cell-free systems）蛋白合成的抑制实验条件下，是一种很好的取代方法。它不需要昂贵设备，在普通实验条件下都可进行。这对毒素 A 链的制备及其应用研究是很有价值的。

参 考 文 献

- [1] 李时珍：《本草纲目》。
- [2] Lin, J. -Y. et al.: *J. Formosean Med. Assoc.*, 68, 518, 1969.
- [3] Olsnes, S. et al.: *Eur. J. Biochem.*, 35, 179, 1973.
- [4] Olsnes, S.: *Methods of Enzymol.*, 50, 323, 1978.
- [5] Yamaizumi, M. et al.: *Cell*, 15, 245, 1978.
- [6] Eiklid, K. et al.: *Expl. Cell Res.*, 126, 321, 1980.
- [7] Fodstad, Ø. et al.: *Cancer Research*, 44, 862, 1984.

【本文于 1986 年 9 月 19 日收到】

（上接第 78 页）

低端扩展容易。

本工作承施履吉教授指导，孙慧芳同志曾参加研制工作，特此感谢。

p. 28, 1979.

- [2] Biétry, L. Zurich et al.: *Dictionary of Weighing Terms*, Switzerland, Mettler Instrument AG, p. 48, 1983.

【本文于 1986 年 11 月 10 日收到】

参 考 文 献

- [1] 纪树廣：《自动显示技术及装置》，机械工业出版社，